

cmのスパッドレンチを使い、締付け完了後本レンチにより2次締めを行なった。したがって、ボルト軸力の測定順序もまた上記ボルトの締付け順序のとおりとし、特に、2次締め時には隣接ボルトの軸力変動量を把握するため、当該ボルトだけでなく、接合部1ブロックのボルト全数について同時に軸力を測定した。

3 実験結果と考察

ボルト導入軸力の測定結果をTable 2に示すが、これより本法による締付けを行なえば、明らかに締付け位置ずなわち締付け姿勢が2次締め軸力に与える影響は皆無と結論づけられる。また、1次締め軸力のばらつきが大きい（例えばM 22で30.44%）にもかかわらず、2次締め軸力のそれがきわめて小さくなる（同2.02%）ことから、本法は1次締めの条件にも関係しない締付け法であることがわかるが、この結果は室内実験より得られた結果およびまえがきで述べた本法の特徴を十分裏付けるものであるといえる。次に既往の締付け法と比較するため、Table 3に種々の締付け法、締付け機器による測定の結果を示したが、グループIはいわゆるトルクコントロール法、IIはナット回転法、IIIは本法を指すものである。なお、II、IIIはボルトの耐力点を越えた締付けとなるため、遅れ破壊に対して安全なF 10Tを締付け対象として選び、その他はすべてF 11Tを使用している。

上記の各種締付け法によるボルトの導入軸力の分布はほど正規分布に従うことを正規確率紙へのプロット等によって確認しているため、それぞれの締付け法の精度は変動係数 U_{μ} を比較することで相対的に評価できることになる。ただし、この場合グループごとに締付け継手詳細、ボルトの首下長さ等が異なることによる導入軸力分布への影響は無視している。グループIは締付け機器の違いはあるものの、いずれも目標軸力21.0 tonに対しても U_{μ} は6~14%の範囲のばらつきを示した。一方、IIでは3~5%，IIIに至ってはわずか2%のばらつきしか示さず、締付け精度は本法、ナット回転法、トルクコントロール法の順となることが明らかである。以上のことをさらに視覚的に表わせばFig.3のようになる。図中に示した軸力の範囲は平均軸力±標準偏差である。なお、本法による最終締付け位置を示せば、

Where:

U.F. = upper flange N = mean value of bolt tension

L.F. = lower flange σ = standard deviation of bolt tension

F. = flange U_{μ} = coefficient of variation (%)

W.M. = web of main member, lattice member

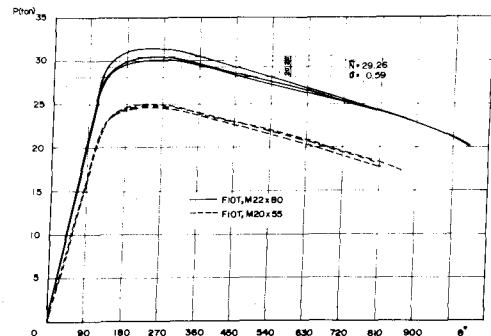


Fig. 1 Bolt Tension vs. Nut Rotation Curves

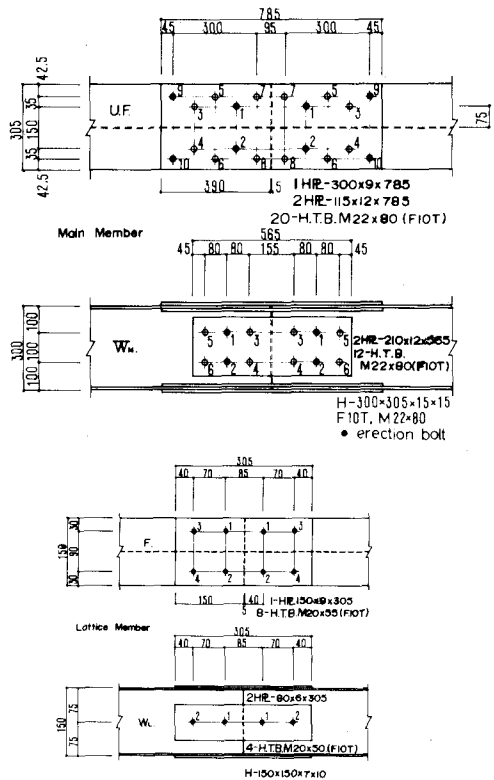


Fig. 2 Details of Tested Joints

Table 2 Bolt Tension obtained from Field Test (ton)

Bolt	Site	First Tightening			Second Tightening			Piece
		N	σ	U_{μ}	N	σ	U_{μ}	
FIOT M22x80	U.F.	9.25	1.92	20.75	29.38	0.58	1.97	70
	L.F.	9.13	1.67	18.29	29.26	0.57	1.95	59
	W.L.	5.02	0.92	18.32	29.09	0.59	2.03	47
	Total	8.08	2.46	30.44	29.26	0.59	2.02	176
FIOT M20x55	F.	8.55	1.72	20.11	23.39	0.84	3.59	44
	W.L.	6.27	1.46	23.32	23.60	0.71	3.01	12
	Total	8.06	1.91	23.69	23.44	0.82	3.50	56

